

九州大学工学部 正員 上田年比古

正員 杉尾哲

学生員 ○幸島勝彦

1. まえがき

一般に複数の流入部あるいは流出部を持つ浸透流は、たとえば、一つの堤防の下の浸透流のような流入、流出部がそれぞれ一箇所ある流れとは異なり流入部あるいは流出部と流入部との間に渦み点(stagnation point)が生じ、この渦み点にいたる流線を境にして複数の独立した流れが組み合わされた流れとなる。また、この渦み点の位置は、流入、流出部の水位によって変動し、これにより流れの場の水流も大きく変化することが知られている。

本報は、複数の流入、流出部をもつ浸透流を、上面に2つの堤防があり、それ以外の上面は基水で被われている均一な透水性をもつ半無限浸透領域について考究、Jacobiの橢円関数を用いて理論的に解析したものである。

2. 写像関数

流れの場を Z 平面、ポテンシャルの場を W 平面とし、その媒介平として ζ 平面、 W 平面を図-2のように選ぶ。なお W 平面は渦み点(E点)の位置によって図-1の(a)に異なる、た形となる。

ここで Z 平面と ζ 平面との写像関数を求めるところとなる。 Z 平面のB, DおよびF点を ζ 平面のB, DおよびF点に対応させるための双一次変換式は、

$$\frac{(1/k+1)(1/k+\zeta)}{(1/k+\zeta)(1/k-1)} = \frac{(a+d)+e\zeta}{(a+d)+k\zeta} \cdot c \quad \text{--- ①}$$

したがって、 $Z=0$, $\zeta=0$ を満足する条件より

$$(1+k)(a+d)c = (1-k)(a+b)(e+c) \quad \text{--- ②}$$

また、 $d=b-e$ を用いて

$$e = \frac{2kc(a+b)}{(1-k)(a+b+c)+2kc} \quad \text{--- ③}$$

この③式によつて Z 平面の座標がわかる。

次に ζ 平面と W 平面との写像関数は

Schwarz-Christoffel の変換より

$$W = C \int \frac{-k(\zeta - \zeta_0)}{(1-\zeta^2)(1-k^2\zeta^2)} d\zeta \quad \text{--- ④}$$

ここに ζ_0 は渦み点の ζ 軸上の座標で、C₁は実定数とする。

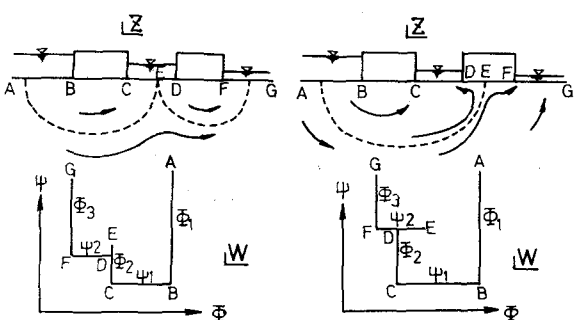
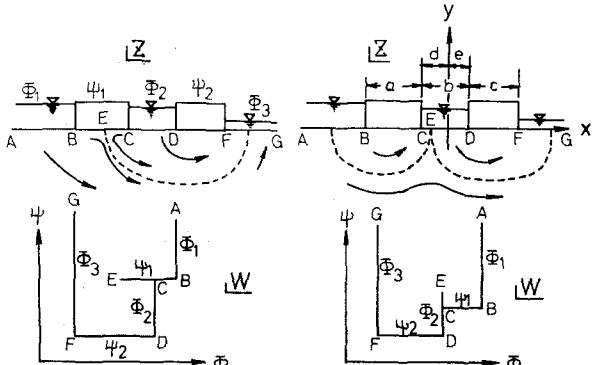


図-1 流れの場とそのポテンシャルの場

また W 平面と W_1 平面との写像関数はオイラー積分の逆関数；Jacobi の sn 関数を使って
 $S = sn(W_1, k) - \bar{f}_e$ で表わされるが、(4) 式に (5) 式を代入すると次のようになる。

$$W = k C_1 \int \{ sn(W_1, k) - \bar{f}_e \} dW_1 \\ = C_1 \ln \{ dn(W_1, k) - k cn(W_1, k) \} - k C_1 \bar{f}_e W_1 + C_2 \quad (6)$$

ここに C_2 は実定数とする。

なお W_1 平面の ∞ 点は (1) 式が $\zeta = -d$ のとき $\zeta = -1$ を満足する条件より

$$k = \{\sqrt{(a+b)(b+c)/ac} - 1\} / \{\sqrt{(a+b)(b+c)/ac} + 1\} \quad (7)$$

ここで (6) 式の C_1, C_2 および \bar{f}_e は未知数であり、 Z 平面と W_1 平面との対応によってこれらの算定式を説明してみよう。

B 点では $W_1 = -K + iK'$, $dn(W_1, k) = 0$, $cn(W_1, k) = ik'/k$

$$\bar{w}_1 + i\bar{u}_1 = C_1 \ln(-ik') - k C_1 \bar{f}_e (-K + iK') + C_2 \quad (8)$$

C 点では $W_1 = -K$, $dn(W_1, k) = k'$, $cn(W_1, k) = 0$

$$\bar{w}_1 + i\bar{u}_1 = C_1 \ln k' + k C_1 \bar{f}_e K + C_2 \quad (9)$$

D 点では $W_1 = K$, $dn(W_1, k) = k'$, $cn(W_1, k) = 0$

$$\bar{w}_1 + i\bar{u}_1 = C_1 \ln k' - k C_1 \bar{f}_e K + C_2 \quad (10)$$

F 点では $W_1 = K + iK'$, $dn(W_1, k) = 0$, $cn(W_1, k) = -ik'/k$

$$\bar{w}_1 + i\bar{u}_1 = C_1 \ln(iK') - C_1 k \bar{f}_e (K + iK') + C_2 \quad (11)$$

したがって (8) - (10) より $C_1 = (\bar{w}_1 - \bar{w}_2) / \{\ln(i) + ik' \bar{f}_e\}$

$$(11) - (10) \text{ より } \bar{f}_e = \{C_1 \ln(i) - (\bar{w}_3 - \bar{w}_2)\} / C_1 k i K' \quad (13)$$

(12) 式を (13) 式に代入すると

$$C_1 = (\Delta \bar{w}_1 + \Delta \bar{w}_2) / (2n+1)\pi i \quad (n \text{ は } 0 \text{ または整数}) \quad (14)$$

ここで $\ln(i) = (2n+1)\pi i/2$, $\Delta \bar{w}_1 = \bar{w}_2 - \bar{w}_1$, $\Delta \bar{w}_2 = \bar{w}_3 - \bar{w}_2$

したがって (14) 式を (13) 式に代入して

$$\bar{f}_e = \{(\Delta \bar{w}_1 - \Delta \bar{w}_2)(2n+1)\pi\} / \{2(\Delta \bar{w}_1 + \Delta \bar{w}_2)k i K'\} \quad (15)$$

また (4) (15) 式を (9) 式に代入すると

$$C_2 = \bar{w}_2 + i\bar{u}_1 - (\Delta \bar{w}_1 + \Delta \bar{w}_2) \ln k' / \{(2n+1)\pi i\} - (\Delta \bar{w}_1 - \Delta \bar{w}_2)(K/K')/2i \quad (16)$$

以上で C_1, C_2, \bar{f}_e が求まった。

一方 W_1 は複素数であり (6) 式を実数部、虚数部に分割するために

$$G = \ln \{ dn(W_1, k) - k cn(W_1, k) \} = \ln(A/c + iB/c)$$

とおくと

$$G = 1/2 \{ \ln(A^2 + B^2)/c^2 \} + i \{ \tan^{-1} B/A + 2\pi n' \}$$

ここで n' は 0 または整数（ここでは 0 をとする）。

$$A = dn X \cdot cn Y \cdot dn Y - k cn X \cdot cn Y \quad (17)$$

$$B = k sn X \cdot dn X \cdot sn Y \cdot dn Y - k^2 sn X \cdot cn X \cdot sn Y \quad (18)$$

$$C = 1 - dn^2 X \cdot sn^2 Y \quad (19)$$

したがって⑭, ⑮, ⑯式を⑬式に代入して

$$W = \frac{-i(\Delta\Phi_1 + \Delta\Phi_2)}{(2n+1)\pi} \left\{ \frac{1}{2} \ln \frac{A^2 + B^2}{C^2} + i \tan^{-1} \frac{B}{A} \right\} + \frac{i(\Phi_1 - \Phi_2)}{2K'} (K + X + iY) + \Phi_2 + i\Psi_1 + \frac{i(\Phi_1 + \Phi_2)}{(2n+1)} \ln k'$$

となる。ここに $\tan^{-1} \frac{B}{A}$ が主値をとるものとすれば $n=0$ である。

したがって $\Phi_2 = \frac{\Delta\Phi_1 + \Delta\Phi_2}{\pi} \tan^{-1} \frac{B}{A} - \frac{\Delta\Phi_1 - \Delta\Phi_2}{2K'} Y + \Phi_2$ ⑭

$$\Psi_1 = \frac{\Delta\Phi_1 + \Delta\Phi_2}{\pi} \left(\ln k' - \frac{1}{2} \ln \frac{A^2 + B^2}{C^2} \right) + \frac{\Delta\Phi_1 - \Delta\Phi_2}{2} \left(\frac{K}{k'} + \frac{X}{K} \right) + \Psi_1 \quad ⑮$$

3. 堤体間からの流出量

(1) D 点における Ψ_1 の値を⑮式から求めると

$X = K, Y = 0, dnX = k', cnX = 0$ であるから

⑭, ⑮, ⑯式は $A = k', B = 0, C = 1$ となる。

$$\ln \{ (A^2 + B^2)/C^2 \} = 2 \ln k'$$

したがって

$$\Psi_2 - \Psi_1 = (\Delta\Phi_1 - \Delta\Phi_2)(\frac{1}{k'}) \quad ⑯$$

⑯式は CD 区間からの流出量の算定式である。

この算定結果の一部を図-3 に示す。

4. 堤体表面における圧力分布

一般に Darcy の法則が適用できる範囲内では浸透領域内の点において、その点の全水頭を γ とし、その点の圧力を P 、位置水頭を η 、水の単位重量を w 、領域内の透水係数を k_0 とすれば堤

体表面の圧力分布を求めることができる。ここに DF, BC 区間の Φ の値は、

$$W_1 = \pm K + iY \quad dn(W_1, k) = k' cn(Y, k') / dn(Y, k')$$

$$cn(W_1, k) = \mp i k' sn(Y, k') / dn(Y, k')$$

$$\text{より } B/A = \mp k' sn(Y, k') / cn(Y, k')$$

$$\therefore \Phi_2 = \frac{\Delta\Phi_1 + \Delta\Phi_2}{\pi} \tan^{-1} \left(\frac{\mp k' sn(Y, k')}{cn(Y, k')} \right) - \frac{\Delta\Phi_1 - \Delta\Phi_2}{2K'} Y + \Phi_2 \quad ⑰$$

ここで $W_1 = \pm K + iY$ に対する平面の値は⑬式より

$$\xi = sn(W_1, k) = \pm 1 / dn(Y, k'), \eta = 0 \quad ⑱$$

なお⑰式の Arctan の項における符号は DF 区間にて負、BC 区間にて正とし⑰式における逆をとる。

一方、①式を変形し、②式を用いて簡単にすると

$$Z = 2kC(a+d)(1+k) \zeta / \{ [c(1+k) + (a+b)(1-k)] + [(a+b)(1-k) - kC(1+k)] \zeta \} \quad ⑲$$

⑲式に $Z = x + iy$, $\zeta = \xi + i\eta$ を代入して実数部と虚数部にわけると

$$\{ x = g \xi (r + s \xi) / \{ (r + s \xi)^2 + (s \eta)^2 \} \} \quad ⑳$$

$$\{ y = g \eta / \{ (r + s \xi)^2 + (s \eta)^2 \} \} \quad ㉑$$

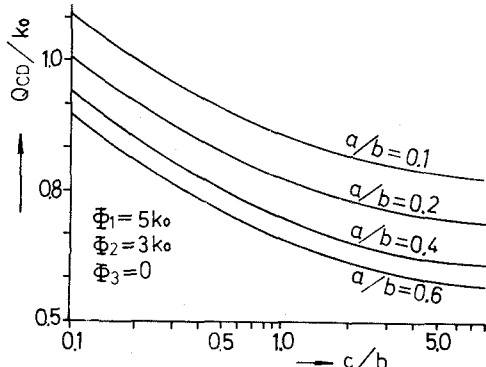


図-3 堤体間からの流出量

ここに $\eta = 2kC(a+d)(1+k)$
 $r = c(1+k) + (a+b)(1-k)$
 $S = (a+b)(1-k) - kC(1+k)$

であり、(20)式より、 $\eta = 0$ とおくと(21)、(22)式は
 $\begin{cases} x = \frac{\eta}{r} / (Y + S) \\ y = 0 \end{cases}$ ————— (23)
 $\begin{cases} x = \frac{\eta}{r} / (Y + S) \\ y = 0 \end{cases}$ ————— (24)

したがって(20)、(21)、(22)式より

DF: $x = \frac{\eta}{r} / \{r d n(Y, k') + S\}, y = 0$ ————— (25)

BC: $x = \frac{\eta}{r} / \{r d n(Y, k') - S\}, y = 0$ ————— (26)

となる。すなわちW平面上のあるYに対するXは(25)式より求められ、そのYに対するZ平面上の値を(26)式が定まるから堤体下の圧力分布を知ることができる。この算定結果の一部を図-4に示す。

5. 漏み点の位置

W平面上における漏み点の位置は(15)式が求まる。

$$x_e = \frac{\Delta H_1 - \Delta H_2 \cdot \pi}{\Delta H_1 + \Delta H_2 \cdot 2k'K} ————— (15')$$

したがってこの場合も上と同様に(20)式に(15)式を代入すれば

$$x_e = (\Delta H_1 - \Delta H_2) \pi r / [(\Delta H_1 + \Delta H_2) 2k'K r + (\Delta H_1 - \Delta H_2) \pi S]$$

よりZ平面上の漏み点の位置が定まる。この算定結果の一部を図-4に示している。

6. おまけ

以上の解析結果から次のようことがいえる。

- ① 堤体間からの流出量は堤体間隔に比例し、堤体幅に反比例する。
- ② 複式堤体の外側における水位の算術平均が堤体間の水位に等しい場合、堤体間に生ずる漏み点の左右の流入・流出量が等しくなり、堤体間の水位は変化しなくなる。
- ③ 堤体表面の圧力は堤体の両端において急激に変化し、その他の区間では徐々に変化する。
- ④ 複式堤体の外側における水位を一定と考えれば、漏み点の位置は堤体間の水位の一次関数となる。

参考文献

友近 喜 “椭円函数論”応用数学叢書 基礎編第6巻 共立出版 昭和33年4月

F. Bowman “Introduction to Elliptic Functions with Application”
Dover Publications, INC. New York 1961

長智男・中崎昭人 “漫過基盤上におけるWeep Hole を有する低堰堤下の揚圧と漫過水流について” 農業土木研究 第21巻 第4号 農業土木学会 昭和28年11月

渡辺潔 “複式干拓の堤防下の漫過量について” 長崎干拓水理委員会研究資料
農業土木学会 昭和42年2月

林桂一・森口繁一 “高級函数表” 岩波書店 1967年11月

